

Р 6264  
993/36/1-2

ISSN 0021 — 3470

(136)

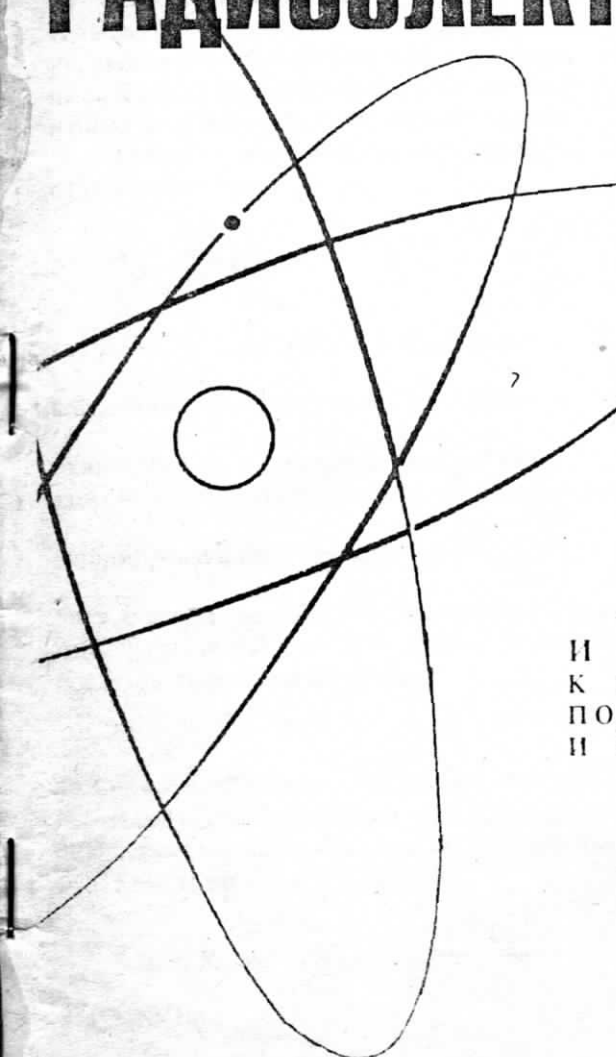
62

И З В Е С Т И Я  
ВЫСШИХ УЧЕБНЫХ  
ЗАВЕДЕНИЙ

# РАДИОЭЛЕКТРОНИКА

том 36

1-2



И З Д А Н И Е  
К И Е В С К О Г О  
ПОЛИТЕХНИЧЕСКОГО  
И Н С Т И Т У Т А

1993

А. П. ТРИ ФОНОВ, М. Б. БЕСПАЛОВА

## ОЦЕНКА ДАЛЬНОСТИ И СКОРОСТИ ПРИ ЗОНДИРОВАНИИ ПОСЛЕДОВАТЕЛЬНОСТЬЮ ОПТИЧЕСКИХ ИМПУЛЬСОВ

Найдены характеристики совместно-эффективных оценок дальности и скорости. Определены потери в точности оценок вследствие ограничения пиковой мощности импульсов.

В системах оптической локации широко применяются последовательности оптических импульсов [1, 2]. Рассмотрим характеристики получаемых с их помощью оценок дальности и скорости, учитывая обычно имеющие место ограничения времени зондирования, пиковой мощности и энергии зондирующей последовательности [2].

Положим, что излучается последовательность оптических импульсов с интенсивностью

$$s(t) = \sum_{k=0}^{N-1} s_k f\left[\frac{t - (k + \mu)\Theta - \lambda}{\tau}\right] = \sum_{k=0}^{N-1} a_k f\left[\frac{t - (k + \mu)\Theta - \lambda}{\tau}\right], \quad (1)$$

где  $a_k$  — максимальная интенсивность одного импульса;  $\Theta$  — период следования;  $\lambda$  — временное положение;  $\tau = \int_{-\infty}^{\infty} s_1^2(t) dt / [\max s_1^2(t)]^{-1}$  — эквивалентная длительность одного импульса последовательности. Функция  $f(x) \geq 0$  в (1) описывает форму одного импульса последовательности и нормирована так, что  $\max f(x) = 1$ ,  $\int_{-\infty}^{\infty} f^2(x) dx = 1$ . Значение  $\mu$  определяет, с какой точкой последовательности связано ее временное положение. Если  $\mu = 0$ , то  $\lambda$  — временное положение первого импульса последовательности. Если же

$$\mu = -(N - 1)/2, \quad (2)$$

то  $\lambda$  — временное положение середины последовательности.

В результате рассеяния зондирующей последовательности с интенсивностью (1) точечной целью, интенсивность принимаемого сигнала будет иметь вид

$$s(t, R_0, v_0) = \sum_{k=0}^{N-1} a_k f\left[\frac{t - 2R_0/c - (k + \mu)\Theta(1 + 2v_0/c)}{\tau}\right], \quad (3)$$

где  $R_0$  — дальность;  $v_0$  — скорость цели;  $c$  — скорость света, причем  $v_0 / c \ll 1$ . Сигнал с интенсивностью (3) принимается в течение времени  $T > N\Theta$  на фоне оптического шума с интенсивностью  $\nu$ . Следовательно обработка доступна реализация пуассоновского процесса с интенсивностью  $\nu + s(t, R_0, v_0)$  [1, 2].

Потенциальная точность оценки дальности цели при ее неизвестной скорости характеризуется дисперсией эффективной оценки [2]

$$D_v(R) = D(R) / (1 - \rho^2), \quad (4)$$

где

$$D(R) = \left\{ \int_0^T \left[ \frac{\partial s(t, R, v)}{\partial R} \right]^2 [\nu + s(t, R, v)]^{-1} dt \right\}_{R_0, v_0}^{-1} \quad (5)$$

— дисперсия эффективной оценки дальности цели при априори известной скорости;

$$\begin{aligned} \rho = - \left\{ \int_0^T \frac{\partial s(t, R, v)}{\partial R} \frac{\partial s(t, R, v)}{\partial v} [\nu + s(t, R, v)]^{-1} dt \right\}_{R_0, v_0} \times \\ \times [D(R) D(v)]^{1/2} \end{aligned} \quad (6)$$

— коэффициент корреляции совместно-эффективных оценок дальности и скорости цели;

$$D(v) = \left\{ \int_0^T \left[ \frac{\partial s(t, R, v)}{\partial v} \right]^2 [\nu + s(t, R, v)]^{-1} dt \right\}_{R_0, v_0}^{-1} \quad (7)$$

— дисперсия эффективной оценки скорости цели при априори известной дальности. Соответственно дисперсия эффективной оценки скорости при априори неизвестной дальности цели определяется выражением

$$D_R(v) = D(v) / (1 - \rho^2). \quad (8)$$

Подставим (3) и (5...7) и, полагая, что скважность последовательности (3) достаточно велика, найдем

$$D(R) = c^2 \tau \left[ 4 \sum_{k=0}^{N-1} F(a_k) \right]^{-1}; \quad (9)$$

$$\rho = - \sum_{k=0}^{N-1} (k + \mu) F(a_k) \left[ \sum_{k=0}^{N-1} F(a_k) \sum_{k=0}^{N-1} (k + \mu)^2 F(a_k) \right]^{-1/2}; \quad (10)$$

$$D(v) = c^2 \tau \left[ 4 \Theta^2 \sum_{k=0}^{N-1} (k + \mu)^2 F(a_k) \right]^{-1}; \quad (11)$$

$$F(a) = a^2 \int_{-\infty}^{\infty} [df(x) / dx]^2 [v + af(x)]^{-1} dx. \quad (12)$$

обы определить дисперсии совместно-эффективных оценок дальности и скорости, подставим (9)...(11) в (4) и (8). Получим

$$v(R) = c^2 \tau \sum_{k=0}^{N-1} (k + \mu)^2 F(a_k) \left[ 4 \sum_{k=0}^{N-1} F(a_k) \sum_{k=0}^{N-1} (k - \mu_0)^2 F(a_k) \right]^{-1}; \quad (13)$$

$$D_R(v) = c^2 \tau \left[ 4 \Theta^2 \sum_{k=0}^{N-1} (k - \mu_0)^2 F(a_k) \right]^{-1}; \quad (14)$$

$$\mu_0 = \sum_{k=0}^{N-1} k F(a_k) \left[ \sum_{k=0}^{N-1} F(a_k) \right]^{-1}. \quad (15)$$

Положим вначале, что выполняется раздельная оценка дальности и скорости [3]. Обычно энергия зондирующей последовательности (1) гранична, так что

$$\sum_{k=0}^{N-1} a_k \leq A. \quad (16)$$

Рассмотрим влияние числа импульсов последовательности (1) на дисперсию оценки дальности (9) при априори известной скорости цели и выполнении (16). Пусть максимальные интенсивности отдельных импульсов последовательности (3) одинаковы. Тогда, согласно (16)

$$a_0 = a_1 = \dots = a_{N-1} = A/N \quad (17)$$

дисперсия оценки дальности (9) принимает вид

$$D(R) = c^2 \tau [4 N F(A/N)]^{-1} = c^2 \tau \{ 4 A^2 \int_{-\infty}^{\infty} [df(x) / dx]^2 \times \\ \times [N v + A f(x)]^{-1} dx \}^{-1}. \quad (18)$$

Видим, что дисперсия оценки дальности является монотонно возрастающей функцией числа импульсов последовательности (3). Следовательно, максимальная точность оценки дальности достигается при использовании вырожденной зондирующей последовательности, состоящей из одного импульса с интенсивностью  $\Lambda$ . Соответственно, минимальная дисперсия раздельной оценки дальности определяется из (18) при  $N = 1$

$$\min D(R) = c^2 \tau [4 F(\Lambda)]^{-1} = c^2 \tau \{4 \Lambda^2 \int_{-\infty}^{\infty} [df(x)/dx]^2 \times \\ \times [\nu + \Lambda f(x)]^{-1} dx\}^{-1}. \quad (19)$$

Если увеличить в (19) интенсивность оптического шума в  $N$  раз, т. е. заменить  $\nu$  на  $N\nu$ , то получим выражение (18). Следовательно, использование для оценки дальности вместо одного импульса с интенсивностью  $\Lambda$  последовательности из  $N$  импульсов с интенсивностями (17) эквивалентно увеличению интенсивности оптического шума в  $N$  раз. Очевидно это может привести к существенному снижению точности оценки дальности.

Необходимость в использовании последовательности импульсов для раздельной оценки дальности возникает при наличии ограничения пиковой мощности отдельных импульсов [2]. Пусть допустимые значения интенсивности отдельных импульсов зондирующей последовательности ограничены, так что

$$a_k \leq a_{\max}, k = \overline{0; N-1} \quad (20)$$

и  $a_{\max} < \Lambda$ . Тогда зондирующий сигнал с суммарной интенсивностью  $\Lambda$  должен содержать

$$N = E[\Lambda / a_{\max}] + 1 \quad (21)$$

импульсов. В (21)  $E[x]$  означает целую часть  $x$ . Сопоставляя (18) и (19), находим проигрыш в точности оценки дальности вследствие ограничения пиковой мощности (20)

$$\chi_1 = D(R) / \min D(R) = F(\Lambda) / N F(\Lambda / N). \quad (22)$$

Здесь число импульсов последовательности  $N$  определяется из (21). величина проигрыша в точности оценки дальности зависит от вида функции (12), которая в свою очередь определяется формой интенсивности одного импульса последовательностей (1), (3). Поэтому без конкретизации формы интенсивности одного импульса проигрыш в точности оценки дальности можно определить, лишь исследуя асимптотическое поведение функции (12). Действительно, при  $a \ll \nu$

$$F(a) = a^2 \int_{-\infty}^{\infty} [df(x)/dx]^2 dx / \nu, \quad (23)$$

при  $a \gg \nu$

$$F(a) \approx a^2 \int_{-\infty}^{\infty} [df(x)/dx]^2 f^{-1}(x) dx. \quad (24)$$

спользуя (23), (24), найдем асимптотические значения проигрыша в точности оценки дальности (22). Так при

$$A \ll \nu \quad (25)$$

из (22) и (23) имеем

$$\chi_1 \approx N, \quad (26)$$

при

$$A \gg N \nu \quad (27)$$

из (22) и (24) получаем

$$\chi_1 \approx 1. \quad (28)$$

Согласно (26) проигрыш в точности оценки дальности может быть значительным, если число импульсов в зондирующей последовательности велико. В тоже время, если интенсивность каждого импульса последовательности существенно превосходит интенсивность оптического шума, то проигрыш практически отсутствует.

Как правило, кроме ограничения энергии зондирующего сигнала (16) пиковой мощности отдельных импульсов (20), ограничивается время  $T_s$ , т. в. длине зондирования цели [2, 3]. Следовательно, длительность зондирующей последовательности с интенсивностью (1) должна удовлетворять условию

$$\Theta(N - 1) \leq T_s. \quad (29)$$

Согласно (11), дисперсия раздельной оценки скорости обратно пропорциональна квадрату периода следования зондирующих импульсов. Поэтому при оценке скорости целесообразно использовать зондирующий сигнал с максимально допустимой длительностью  $T_s$ , полагая

$$\Theta = T_s / (N - 1). \quad (30)$$

Пусть ограничены энергия (16) и длительность (29) зондирующей последовательности импульсов. Подставим в (11) значение  $\mu$  из (2), а значения максимальных интенсивностей импульсов и период следова-

ния — из (17) и (30) соответственно. Тогда выражение (11) для дисперсии оценки скорости при априори известной дальности цели перепишется как

$$D(v) = 3 c^2 \tau (N - 1) / T_s^2 N (N + 1) F(A/N). \quad (31)$$

Используя (12), получаем, что дисперсия оценки скорости является монотонно возрастающей функцией числа импульсов последовательности (3). Поскольку информация о допплеровском сдвиге частоты отраженного оптического сигнала теряется при фотодетектировании, для оценки скорости необходим зондирующий сигнал, содержащий не менее двух импульсов [1]. Следовательно, максимальная точность оценки скорости достигается при использовании последовательности из двух импульсов интенсивностями  $A/2$ , разнесенных на максимально допустимое время  $T_s$ . Соответственно, минимальная дисперсия раздельной оценки скорости определяется из (31) при  $N = 2$

$$\min D(v) = c^2 \tau / 2 T_s^2 F(A/2). \quad (32)$$

Если пиковая мощность отдельных импульсов последовательности ограничена (20) и  $a_m < A/2$ , то необходимо использовать последовательность, содержащую более двух импульсов. В этом случае дисперсия оценки скорости (31) будет превышать свое минимальное значение (32). Сопоставляя (31) и (32), находим проигрыш в точности оценки скорости вследствие ограничения пиковой мощности (20)

$$\chi_2 = D(v) / \min D(v) = 6(N - 1) F(A/2) / N(N + 1) F(A/N). \quad (33)$$

Здесь число импульсов последовательности  $N$  определяется из (21).

Используя (23), (24), получаем асимптотические значения проигрыша в точности оценки скорости (33). Когда выполняется (25), из (23) (33) имеем

$$\chi_2 = 3N(N - 1) / 2(N + 1). \quad (34)$$

Если же выполняется (27), то из (24) и (33) находим

$$\chi_2 = 3(N - 1) / (N + 1). \quad (35)$$

Пусть ограничения на пиковую мощность существенны, так что в (21)  $N \gg 1$ . Тогда (34) примет вид

$$\chi_2 = 3N/2, \quad (36)$$

а (35) перепишется как

$$\chi_2 = 3. \quad (37)$$

Сопоставляя (26) и (36), а так же (28) и (37), видим, что пиковые ограничения в большей степени снижают точность оценки скорости, чем дальности.

Положим теперь, что выполняется совместная оценка дальности и скорости при зондировании цели последовательностью оптических импульсов с интенсивностью (1). Опять считаем, что энергия зондирующего сигнала ограничена (16), а максимальные интенсивности отдельных импульсов одинаковы и определяются из (17) при  $N \geq 2$ . Тогда из (15) имеем

$$\mu_0 = (N - 1) / 2 = -\mu, \quad (38)$$

где  $\mu$  определяется из (2). Подставляя (2), (17) и (38) в (13) и (14), получаем, что дисперсии совместных оценок дальности и скорости совпадают с соответствующими дисперсиями раздельных оценок, так что

$$D_v(R) = D(R), \quad D_R(v) = D(v), \quad (39)$$

где  $D(R)$  и  $D(v)$  определены в (18) и (31) соответственно. Отличие (39) от (18) в том, что при совместной оценке обязательно  $N \geq 2$  [1]. Следовательно, минимальная дисперсия совместной оценки дальности определяется из (18), (39) при  $N = 2$

$$\min D_v(R) = c^2 \tau / 8 F(\Lambda / 2). \quad (40)$$

Сопоставляя (19) и (40), находим минимальный проигрыш в точности совместной оценки дальности вследствие необходимости одновременной оценки скорости

$$\chi_3 = \min D_v(R) / \min D(R) = F(\Lambda) / 2 F(\Lambda / 2). \quad (41)$$

Из (22) следует, что  $\chi_3 = \chi_1$  при  $N = 2$ . Проигрыш (41) в точности совместной оценки дальности по сравнению с раздельной оценкой имеет место при отсутствии пиковых ограничений (20). При выполнении (25), согласно (23), из (41) имеем  $\chi_3 = 2$ , а при  $\Lambda \gg v$  очевидно  $\chi_3 = 1$ . Следовательно, необходимость одновременной оценки скорости может привести к увеличению дисперсии совместной оценки дальности в два раза.

Пусть при наличии пиковых ограничений (20) определяемое из (21) число импульсов  $N > 2$ . Тогда проигрыш в точности совместной оценки дальности по сравнению с раздельной, вследствие необходимости одновременной оценки скорости, отсутствует. Однако при  $N > 2$  и выполнении (16) дисперсия совместной оценки дальности возрастает по сравнению со своим минимальным значением (40). Соответственно, проигрыш в точности совместной оценки дальности вследствие ограничения пиковой мощности запишется как

$$\chi_4 = D_v(R) / \min D_v(R) = 2 F(A/2) / N F(A/N). \quad (42)$$

Здесь число импульсов последовательности  $N$  определяется из (21).

Если выполняется (25), то согласно (23) из (42) получаем, что  $\chi_4 = N/2$ . Соответственно, при выполнении (27) величина  $\chi_4 = 1$ , т. е. проигрыш практически отсутствует.

Соотношения (2), (17), (38) приводят к равенству дисперсий раздельных (11) и совместных (14) оценок скорости. Поэтому, проигрыш в точности совместной оценки скорости вследствие ограничения пиковой мощности (20) можно рассчитать по формуле (33). Действительно, в силу (39)

$$D_R(v) / \min D_R(v) = \chi_2, \quad (43)$$

где  $\chi_2$  определяется из (33).

Таким образом, при отсутствии ограничений пиковой мощности не обходимость использования хотя бы двух импульсов для оценки скорости приводит к проигрышу (41) в точности совместной оценки дальности по сравнению с раздельной. В общем случае, ограничение пиковой мощности (20) приводит к проигрышу как в точности раздельных оценок дальности (22) и скорости (33), так и в точности совместных оценок дальности (42) и скорости (43).

Для иллюстрации полученных общих выражений рассмотрим конкретный пример. Положим, что форма интенсивности одного импульса зондирующей последовательности описывается кривой Лоренца [4]

$$f(x) = [1 + (\pi x / 2)^2]^{-1}. \quad (44)$$

Подставляя (44) в (12), находим

$$F(a) = a^2 (3 + \sqrt{1 + a/v}) / v (1 + \sqrt{1 + a/v})^3. \quad (45)$$

Подставляя затем (45) в (22), (33) и (42) соответственно, получаем для проигрыша в точности оценок вследствие пиковых ограничений (20) следующие выражения:

$$\chi_1 = N \frac{3 + \sqrt{1 + q}}{3 + \sqrt{1 + q/N}} \left( \frac{1 + \sqrt{1 + q/N}}{1 + \sqrt{1 + q}} \right)^3 \quad (46)$$

— для раздельной оценки дальности;

$$\chi_2 = \frac{3N(N-1)}{2(N+1)} \frac{3 + \sqrt{1 + q/2}}{3 + \sqrt{1 + q/N}} \left( \frac{1 + \sqrt{1 + q/N}}{1 + \sqrt{1 + q/2}} \right)^3 \quad (47)$$

— для раздельной и совместной оценок скорости;

$$\chi_4 = \frac{N}{2} \frac{3 + \sqrt{1 + q/2}}{3 + \sqrt{1 + q/N}} \left( \frac{1 + \sqrt{1 + q/N}}{1 + \sqrt{1 + q/2}} \right)^3 \quad (48)$$

— для совместной оценки дальности. Как уже отмечалось, минимальный проигрыш  $\chi_3$  в точности совместной оценки дальности по сравнению с раздельной оценкой, вследствие необходимости одновременной оценки скорости, может быть рассчитан по формуле (46) при  $N = 2$ . В (46)...(48) обозначено  $q = A/v$  — отношение суммарной интенсивности зондирующей последовательности к интенсивности оптического шума.

На рис. 1 представлены зависимости проигрыша в точности оценок дальности и скорости от отношения сигнал—шум  $q$  для различного числа импульсов последовательности. Проигрыш в точности раздельной оценки дальности (46) показан сплошными, проигрыш в точности раздельной и совместной оценки скорости (47) — штрихпунктирными, а проигрыш в точности совместной оценки дальности (48) — штриховыми линиями. Сплошная кривая рисунка при  $N = 2$  также показывает проигрыш  $\chi_3$  (41) в точности совместной оценки дальности по сравнению с раздельной в отсутствие ограничений пиковой мощности, вследствие необходимости одновременной оценки скорости.

Полученные соотношения позволяют сделать обоснованный выбор параметров зондирующей последовательности оптических импульсов в зависимости от формы интенсивности одного импульса и с учетом обычно имеющих место ограничений времени зондирования, пиковой мощности и энергии зондирующей последовательности.

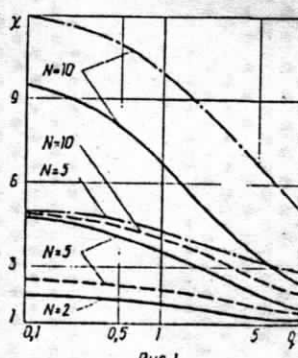


Рис. 1

#### БИБЛИОГРАФИЧЕСКИЙ СПИСОК

- Долинин И. А., Терпугов А. Ф. Статистические методы в оптической локации. — Томск: ТГУ, 1982. — 256 с.
- Воробьев В. И. Оптическая локация для радиоинженеров. — М.: Радио и связь, 1983. — 176 с.
- Кулаков Е. И., Трифонов А. П. Оценка параметров сигналов на фоне помех. — Сов. радио, 1978. — 296 с.
- Ахманов С. А., Дьяков Ю. Е., Чиркин А. С. Введение в статистическую радиофизику и оптику. — М.: Наука, 1981. — 640 с.

Воронежский государственный ун-т.

Поступила в редакцию 03.08.92.